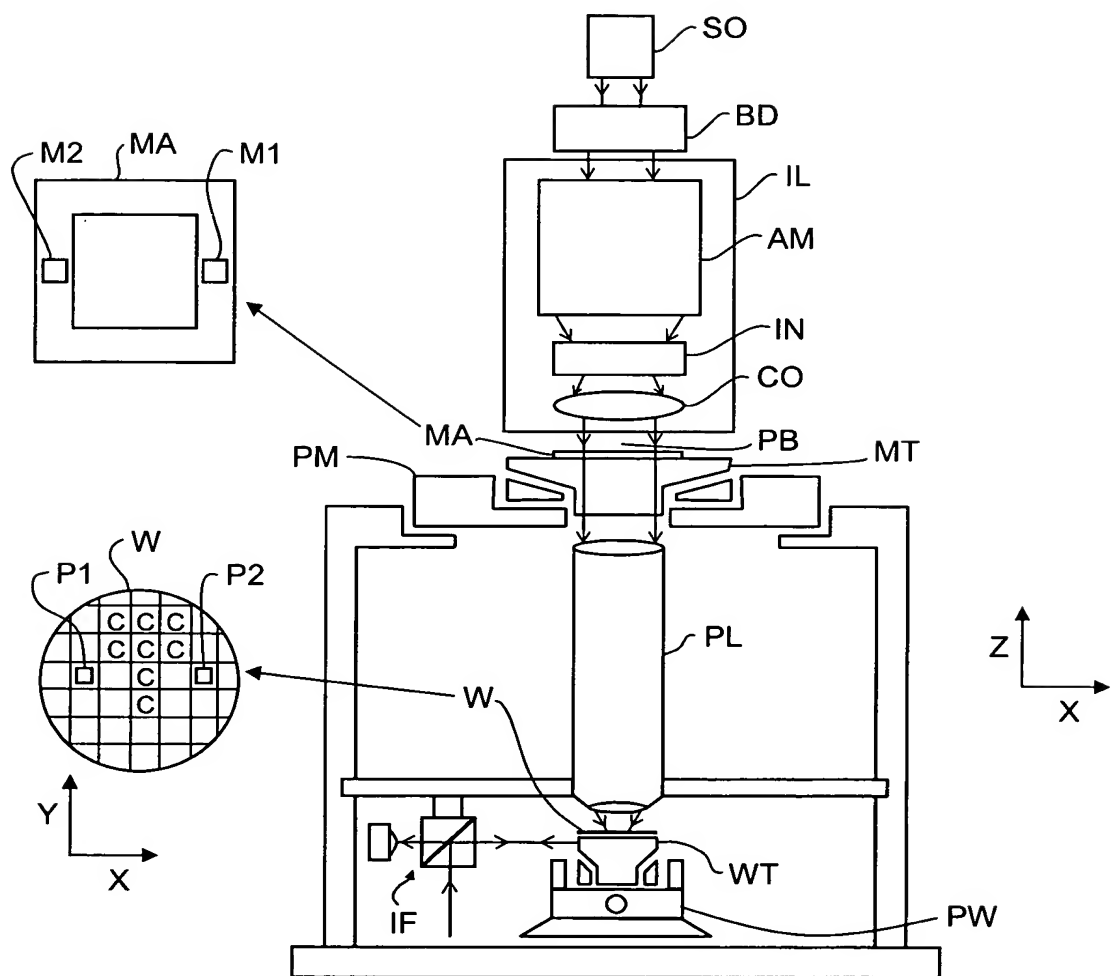
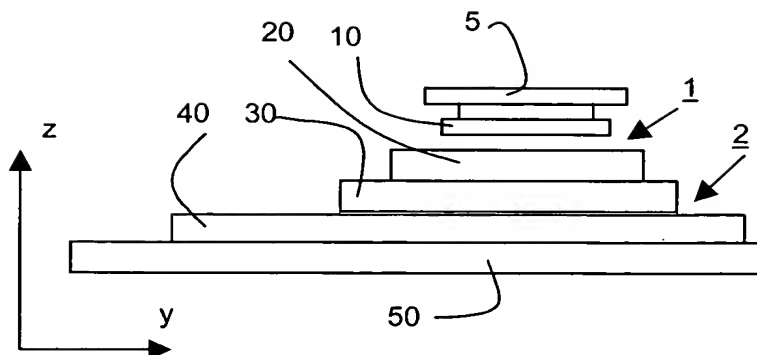


Fig. 1





PRIOR ART

Fig. 2

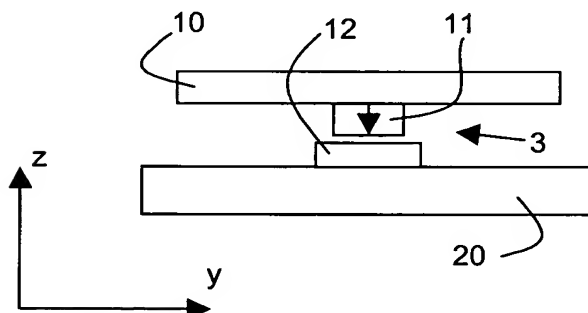


Fig. 3a

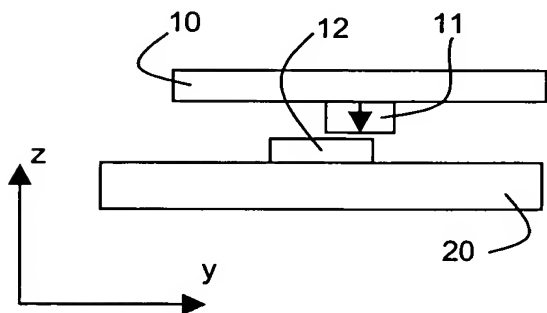


Fig. 3b

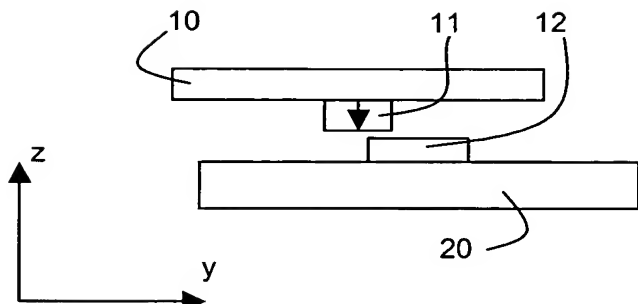


Fig. 3c

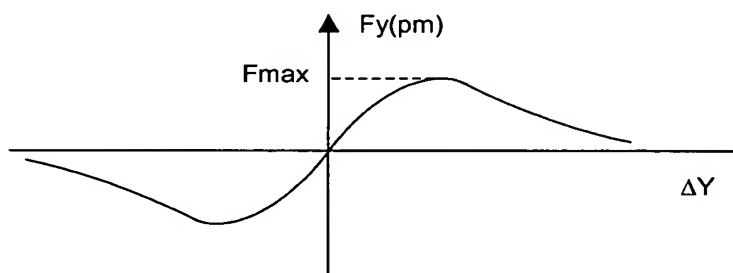


Fig. 4

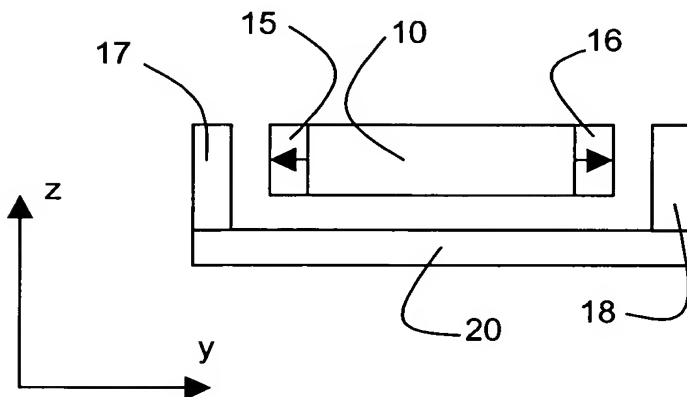


Fig. 5a

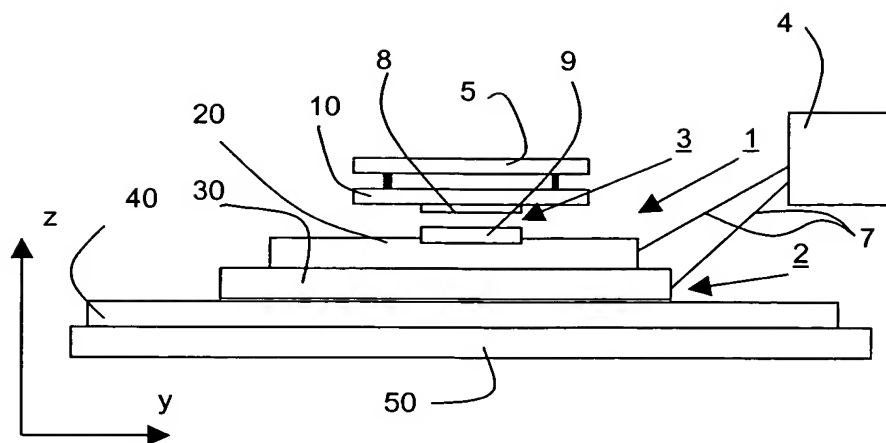


Fig. 5b

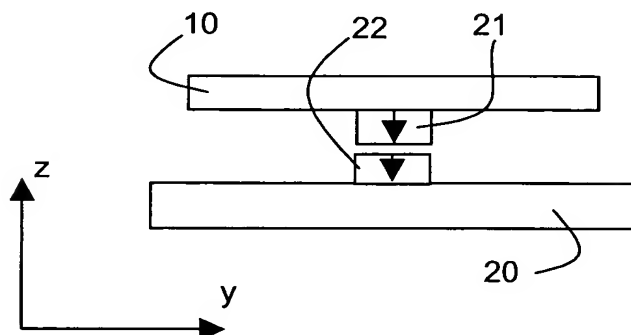


Fig. 6

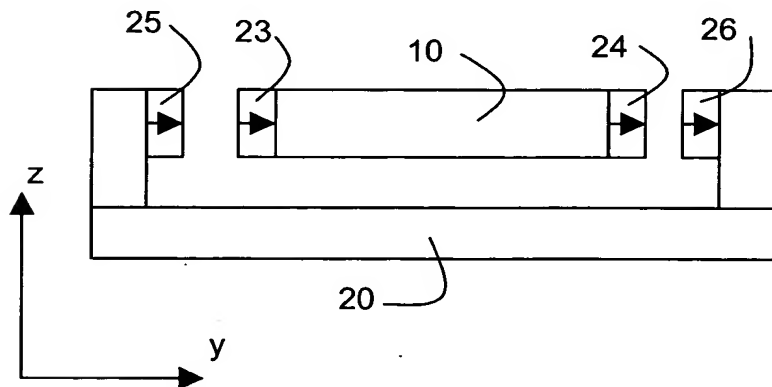


Fig. 7

P-1829.000

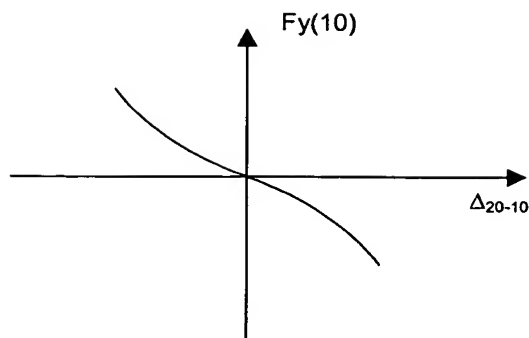


Fig. 8

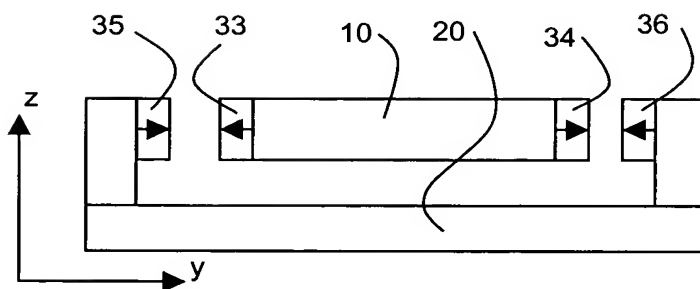


Fig. 9

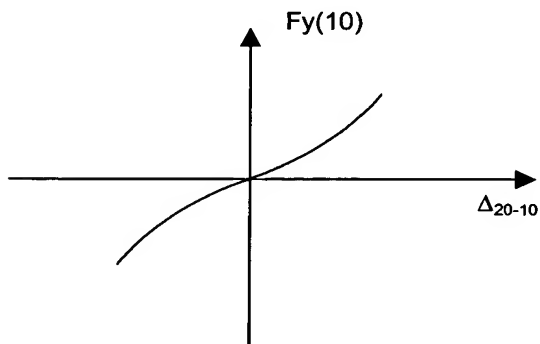


Fig. 10

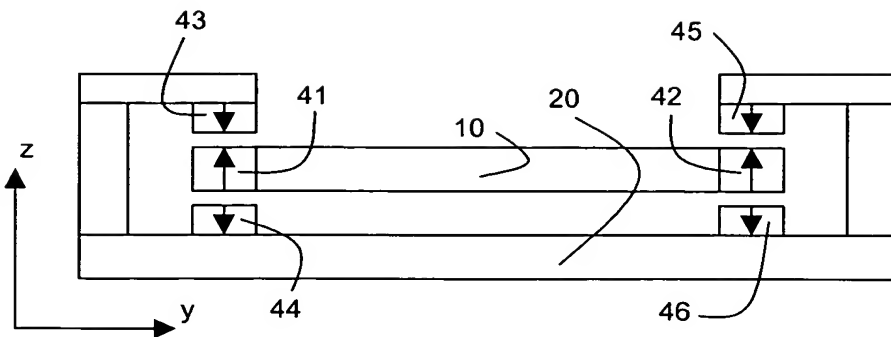


Fig. 11

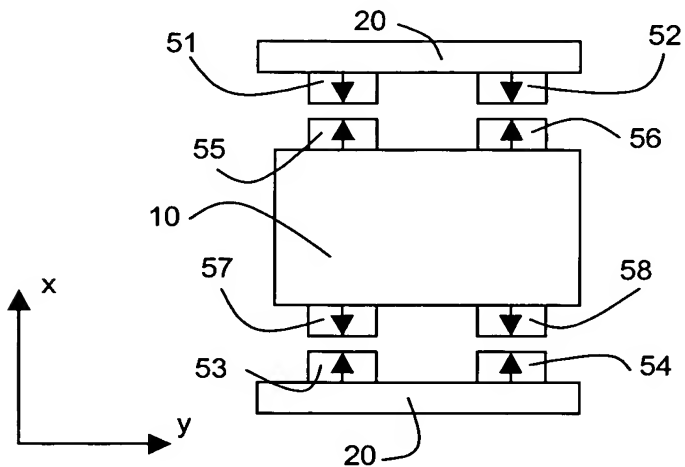


Fig. 12

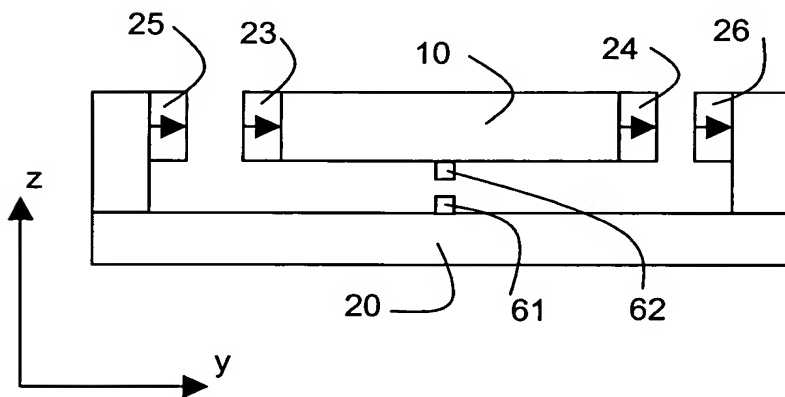


Fig. 13

P-1829.000

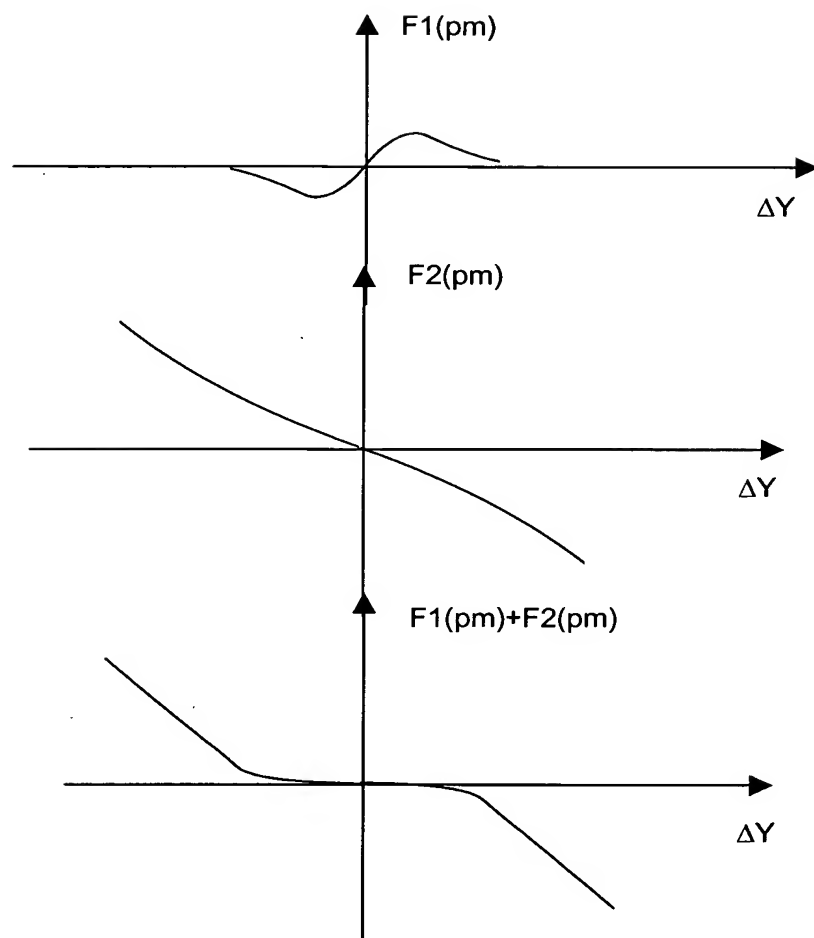


Fig. 14

P-1829.000

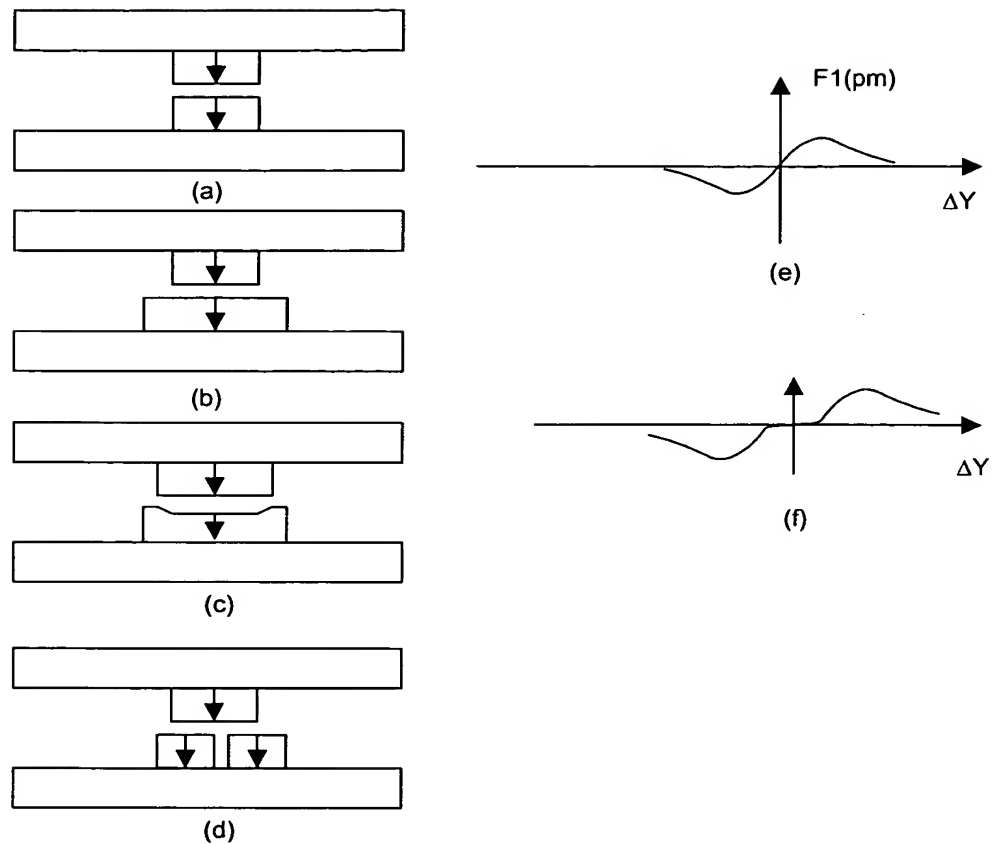


Fig. 15

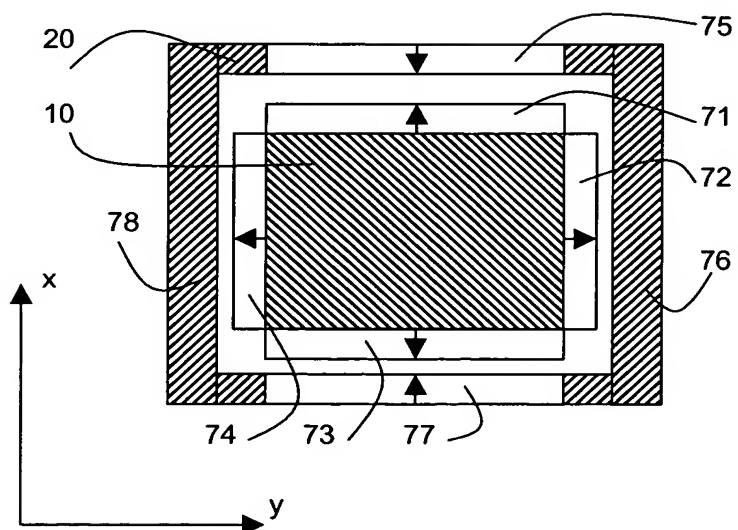


Fig. 16

P-1829.000

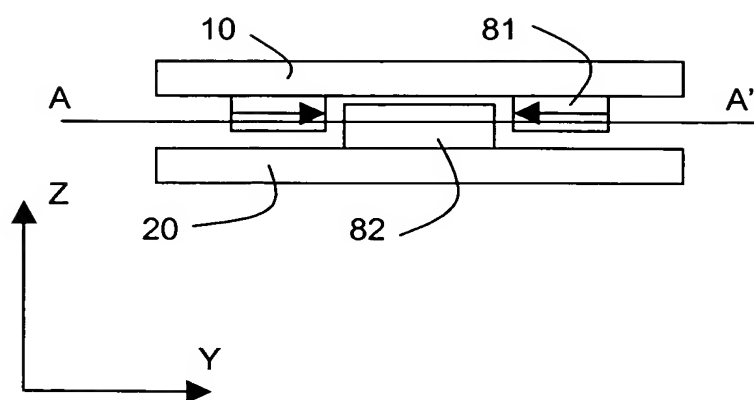


Fig. 17a

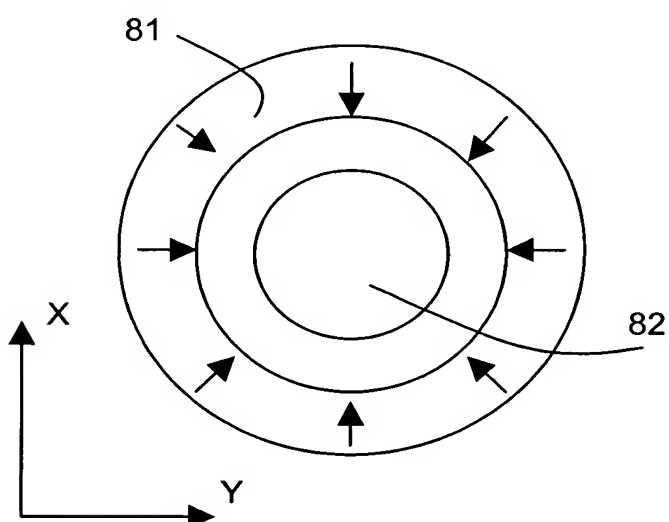


Fig. 17b